

## 1) はじめに

MSSデータの視覚表示システムの目的は多量・複雑化に伴う分析者への難点を取り除くことである。利用時期としてはデータ分析の前後と分析過程がありここでは分析以前の適用を前提とする。MSSデータの視覚表示システムは図-1に見られるように主として写真またはMTを基にしたもので分類された画像解析器と電子計算機の組合せもしくは単体利用である。このシステム中エッジ抽出について未作成であったため、LP出力によるエッジ抽出の表示に限定して述べることにする。センサーからの入力データは波形が不規則なためエッジ抽出時に平滑化を行う方法があり平滑化されたデータのエッジ抽出を実験モデルで試みその結果から得られた問題点を解決してプログラム作成計画を立てた。この結果、CCCTデータのエッジ抽出を可能ならしめた。

## 2) 平滑化によるレベル選定とエッジ抽出へのセル選定

オリジナルMSSデータより作成されたCCCTデータがピクセル当たり8bitで保管される時、 $2^8$  レベルで被写体の放射・反射率は表わされる。分析パターン $P_j$  ( $j = 1 \sim R$ ) に対して $2^8$  レベル ( $2^8$  灰度) で十分にパターンの視覚判別が可能と仮定すれば $2^8$  レベルを平滑化によりレベルダウンレードとしえる。事前に $R$ を与えられないので調査対象地区的区間波長頻度 $f(\lambda)$  のヒストグラムより等確率に区分され式(1)を適用する方法がある。

$$\int_{\infty}^{A_1} f(\lambda) d\lambda = \int_{A_1}^{A_2} f(\lambda) d\lambda = \int_{A_2}^{A_3} f(\lambda) d\lambda = \dots = \int_{A_{R-1}}^{A_R} f(\lambda) d\lambda = \int_{A_R}^{\infty} f(\lambda) d\lambda = 1/R \quad \dots \quad (1)$$

また、簡便法として経験的に $R$ を選定し、レベル区間 $\ell = 2^8 / R$  とすることもある。

以上のような方法によって得られた各レベルのパターン $P'_j$  ( $j = 1 \sim R$ ) が $P_j$ に対応するならばパターン識別は容易であり、 $P'_j$  や $P_j$  ならばパターン識別は困難であることが多い。今 $P'_j$  が三次元的広がりを持つ時の放射・反射率 $R_j$  のセル区間の1次微分が零でない部分のXY座標値を抽出すればエッジ抽出となる。 $XYR$ 系の $P'_j$  の関数を $U(x, y, R) = 0$  とすると式(2)(3)からエッジ判別は可能である。

$$dU(x, y, R)/dx = 0 \quad \dots \quad (2) \quad dU(x, y, R)/dy = 0 \quad \dots \quad (3)$$

つまに、XY方向を同時にエッジ抽出するためには Laplace-Poisson の式に差分近似法を適用して、式(4)(5)を直接あるいは変形することによってエッジ抽出を行なうことができる。

$$U(x+k, y) + U(x-k, y) + U(x, y+k) + U(x, y-k) - 4U(x, y) = 0 \quad \dots \quad (4)$$

$$U(x+k, y+k) + U(x+k, y-k) + U(x-k, y+k) + U(x-k, y-k) + 4U(x, y) = 0 \quad \dots \quad (5)$$

$$+ 4U(x, y+k) + 4U(x, y-k) + 4U(x+k, y) - 20U(x, y) = 0 \quad \dots \quad (5)$$

## 3) テストモデルによる境界線の抽出と考察

CCCTデータのパターン分布のエッジ抽出を実施する前に上式およびその変形式の適用性と問題点を調べるために $61 \times 80$  の格子データをテストモデルとして作成した( $R=10$ )。モデル作成時にはパターン形状とエッジ抽出状態の関連性を調査できるようにパターンの配列を工夫した。

エッジ抽出式の適用時には式(2)～(5)の右辺に判別影響定数 $V$ を加味し、エッジ抽出に必要な格子行数 $N$ の範囲を $2 \leq N \leq 5$ とした。エッジ判別範囲の種類を8とした。これらの1例として $N=3$ の場合のステンレス記号を下記に示しておく。

$$H_2 = \begin{bmatrix} -1 & -1 & -1 \\ 1 & 1 & 1 \end{bmatrix} \quad H_3 = \begin{bmatrix} 1 & 1 \\ -1 & 1 \end{bmatrix} \quad H_4 = \begin{bmatrix} 0 & 0 & 0 \\ 0 & 0 & 0 \\ 0 & 0 & 0 \end{bmatrix} \quad H_5 = \begin{bmatrix} 0 & 0 & 0 \\ 0 & 0 & 0 \\ 0 & 0 & 0 \end{bmatrix} \quad H_6 = \begin{bmatrix} 1 & 1 \\ -1 & 1 \\ 1 & -1 \end{bmatrix} \quad H_7 = \begin{bmatrix} 1 & 1 \\ 1 & 1 \\ 1 & 1 \end{bmatrix} \quad H_8 = \begin{bmatrix} 1 & 1 & 1 \\ -1 & 1 & 1 \\ 1 & -1 & 1 \end{bmatrix} \quad H_9 = \begin{bmatrix} 1 & 1 & 1 \\ -1 & 1 & 1 \\ 1 & -1 & 1 \end{bmatrix}$$

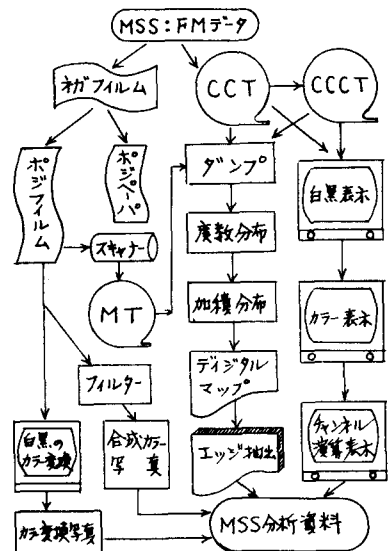


図-1 MSSデータの視覚表示システム。

これらのステンレス記号における  $N=3$  のエッジ抽出を図-2(a)～(e) に示した。すべての  $N$  と  $M$  の組合せによる LP 出力のエッジ抽出状況を A～D の 4 ランクに分類 (A; 抽出良好, B; 一部以外良好, C; 部分的不良があり実用的でない, D; 規則的に抽出されなく効率が悪いものまたはその他の原因で実用的でない) した結果を表-1～4 に示した。この結果の分析からランク B は  $V$  値の考え方によってランク A となりえることが判明したので、 $V$  の従属性数を調査したところ、 $N, M$  であることがわかった。

#### 4) CCTCT データヘッドテストモデルプログラムの適用

テストモデルの結果から得られた事項を基にレバーエッジ抽出のサブルーチン作成の計画を立て、入力データとして  $N, M, V$  の 3 数値を与えることとし、エッジ抽出の判別式は基本的に前出の式(3)～(5) としくはその変形式を適用することになった。

手持の CCTCT テープのデータは 11 チャンネル中 6 チャンネルをスキャンラインごとに 1 ブロック 4820 byte で保管されており (6 チャンネルデータが 4812 byte, 4 チャンネル番号 6 byte, その他 2 byte) 単に MT から CPU メモリームに呼出して、データ分割をしないと万用 RTTRAN 利用者にとっては実用的でない。このためエッジ抽出のサブルーチンにはデータ分割のサブプログラムを含み  $N$  に応じて適切に呼出せるように作成された。つきに図-1 中のヒストグラムや加積分布などプログラムとの関連性について検討した結果、これらの出力とエッジ抽出の出力とを共に要求する場はライン装置を前提としているので MT の巻き戻し時間に多大なロスを生ずるが、CPU コア占有容量を最小にする方が実用的であるとの判断により個別に出力することにし、エッジ抽出プログラム内にヒストグラムや加積分布出力のルーチンを含ませないことになった。なお、CCTCT データは和歌山県御坊市の中北部の一部の地区のものであり、この地区的 LP 出力によるエッジ抽出結果につきましては前面の都合上講演時に譲る。

#### 5) おわりに

本研究のエッジ抽出の処理はテストモデルを本校 TOSBAC-3400 で、CCTCT データを京都大学大型電子計算機センターシステムⅢ FACOM-230-35 による。また、CCTCT の作成に B&K 貿易の援助と日本 IBM 社の飯坂・宮野の協力をえたことを追記しておく。

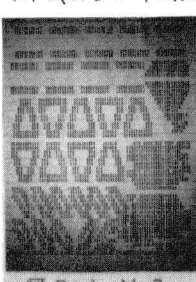


図-2(a)  $M=2$



図-2(b)  $M=3$

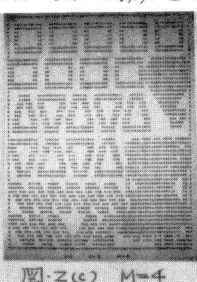


図-2(c)  $M=4$

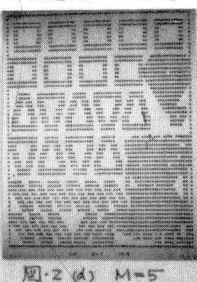


図-2(d)  $M=5$

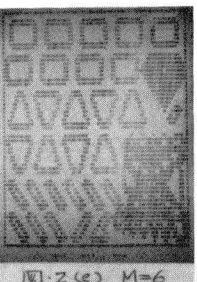


図-2(e)  $M=6$

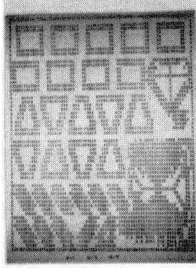


図-2(f)  $M=7$

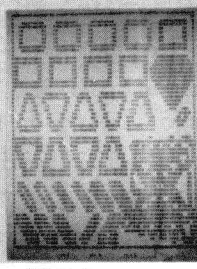


図-2(g)  $M=8$

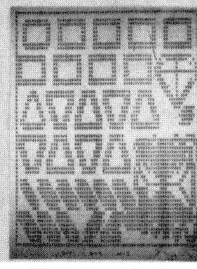


図-2(h)  $M=9$

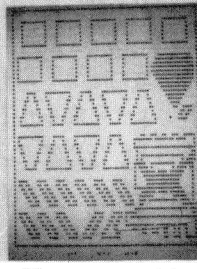


図-2(i)  $N=3, M=10$

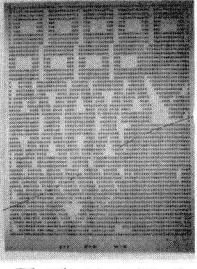


図-2(j)  $N=3, M=11$

表-1  $N=2$

M	2	3	4	5	6	7	8	9
横	A	D	A	A	D	D	D	D
縦	D	A	A	A	D	D	D	D
斜	B	B	B	B	D	D	D	D

表-2  $N=3$

M	2	3	4	5	6	7	8	9
横	A	D	A	A	C	C	C	C
縦	D	A	A	A	C	C	C	C
斜	A	A	A	C	A	B	B	B

表-3  $N=4$

M	2	3	4	5	6	7	8	9
横	A	D	A	A	C	C	C	C
縦	D	A	A	A	C	C	C	C
斜	A	A	A	C	C	C	C	C

表-4  $N=5$

M	2	3	4	5	6	7	8	9
横	A	D	A	A	C	A	A	A
縦	D	A	A	A	C	A	A	A
斜	A	A	A	C	C	C	C	C